

Ficha de grupo de investigación

ANATOMIA PATOLOGICA

Código: CTS138

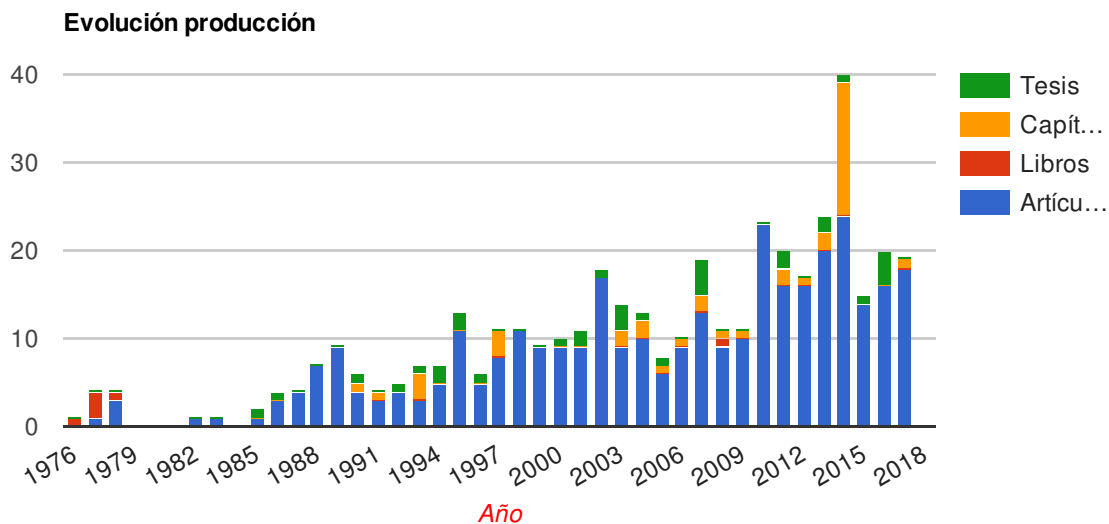
Responsable del grupo: FRANCISCO J. O'VALLE RAVASSA

Miembros

- FRANCISCO J. O'VALLE RAVASSA Profesor titular de universidad Tiempo completo
- M. DOLORES RODRÍGUEZ MARTÍNEZ Técnico en anatomía patológica y citología Tiempo completo
- DAVID AGUILAR PEÑA Otros profesionales de la salud Tiempo completo
- MARIANO AGUILAR PEÑA Profesor titular de universidad Tiempo completo
- JOSÉ FRANCISCO ANEIROS CACHAZA Otros
- MOHAMED TASSI MZAMZI Otros Completa
- PEDRO HERNÁNDEZ CORTÉS Otros médicos especialistas Tiempo completo

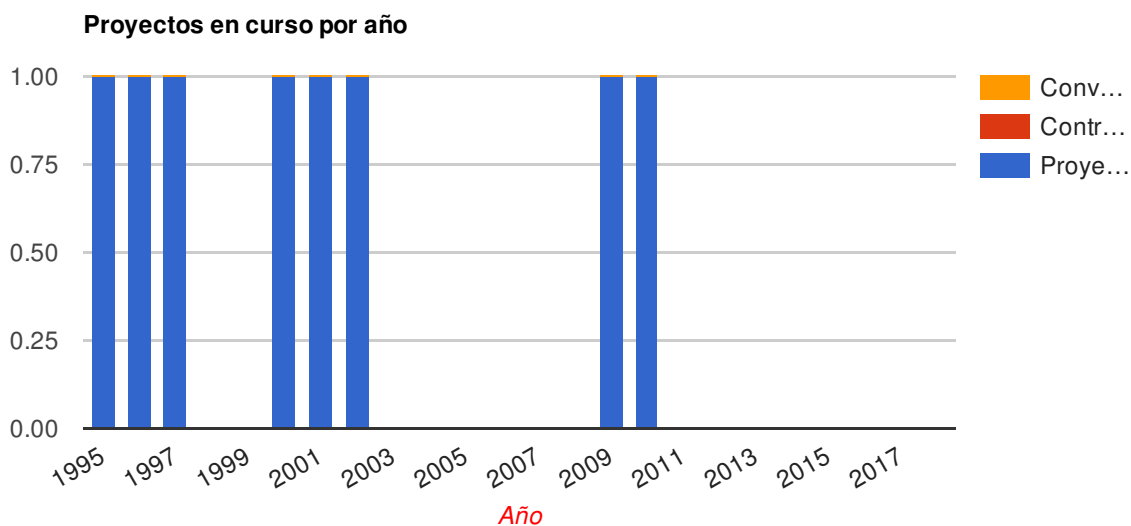
Producción 539

- Artículos (453)
- Libros (8)
- Capítulos de Libros (42)
- Tesis dirigidas (36)



Proyectos dirigidos 3

- Proyectos (3)
- Contratos (0)
- Convenios (0)



Actividades 5

Título publicación	Fuente
Activation of peroxisome proliferator activator receptor beta/alfa improves endothelial dysfunction and protects kidney in murine lupus	Hypertension
Activation of peroxisome proliferator activator receptor β/δ improves endothelial dysfunction and protects kidney in murine lupus	Hypertension
Allogeneic adipose-derived mesenchymal stromal cells ameliorate experimental autoimmune encephalomyelitis by regulating self-reactive t cell responses and dendritic cell function	Stem cells international
Association of periodontitis with preterm birth and low birth weight: a comprehensive review	The journal of maternal-fetal & neonatal medicine
Capítulo 2. histopatología del complejo fibrocartilago triangular	Fundamentos de la cirugía de la articulación radio-cubital distal
Cortistatin reduces atherosclerosis in hyperlipidemic apoe-deficient mice and the formation of foam cells	Scientific reports
Cortistatin reduces atherosclerosis in hyperlipidemic apoe-deficient mice and the formation of foam cells.	Scientific reports
Ghrelin and adipose-derived mesenchymal stromal cells improve nerve regeneration in a rat model of epsilon-caprolactone conduit reconstruction	Histology and histopathology
Glutamyl aminopeptidase in microvesicular and	Diabetes

exosomal fractions of urine is related with renal dysfunction in cisplatin-treated rats	Plos one
Glutamyl aminopeptidase in microvesicular and exosomal fractions of urine is related with renal dysfunction in cisplatin-treated rats	Plos one
Glutamyl aminopeptidase in microvesicular and exosomal fractions of urine is related with renal dysfunction in cisplatin-treated rats	Plos one
Maxillary sinus dimensions decrease as age and tooth loss increase	Implant dentistry
Morphological and immunophenotypical differences between chronic periodontitis and peri-implantitis- a cross-sectional study	
Simvastatin exerts antiproliferative and differentiating effects on mg63 osteoblast-like cells: morphological and immunocytochemical study	Journal of periodontal research
Smoothelin and wt-1 expression in glomus tumors and glomuvenous malformations	Histology and histopathology
The neuropeptide cortistatin attenuates experimental autoimmune myocarditis via inhibition of cardiomyogenic t cell-driven inflammatory responses	British journal of pharmacology
The neuropeptide cortistatin attenuates experimental autoimmune myocarditis via inhibition of cardiomyogenic t cell-driven inflammatory	British journal of pharmacology

responses	
Therapeutic effect of the immunomodulatory drug lenalidomide, but not pomalidomide, in experimental models of rheumatoid arthritis and inflammatory bowel disease	Experimental and molecular medicine
Titanium activates the dna damage response pathway in oral epithelial cells: a pilot study	The international journal of oral & maxillofacial implants
. relationship between periodontal parameters and plasma cytokine profiles in pregnant woman with preterm birth or low birth weight	Clinical oral investigations
Análisis de la pérdida marginal ósea temprana en implantes colocados en hueso injertado frente a implantes colocados en hueso pristino	
Aproximación al diagnóstico de causa de muerte mediante el estudio de marcadores bioquímicos, morfológicos e inmunohistoquímicos	
Comparison of outcomes of intertrochanteric fracture fixation using percutaneous compression plate between stable and unstable fractures in the elderly	
Comparison of outcomes of intertrochanteric fracture fixation using percutaneous compression plate between stable and unstable fractures in the elderly	Journal of orthopaedic trauma
Composition of platelet-rich plasma gel: a western blot analysis	Journal of oral science & rehabilitation
Efecto de los	

Efecto de los neuropéptidos ghrelina y vip en la marcha y función motora tras la reparación del nervio ciático con neurotubos de dl-láctico-e-caprolactona. estudio experimental en rata	
Evaluación del comportamiento de un injerto intrasinusal compuesto	Facultad de odontología, universidad de granada, españa
Immunophenotype of dental implant-associated peripheral giant cell reparative granuloma in a representative case report	Journal of oral implantology
Maxillary sinus dimensions with respect to the posterior superior alveolar artery decrease with tooth loss	Implant dentistry
Microbial profiles and detection techniques in peri-implant diseases: a systematic review	Journal oral & maxillofacial research
Nuevas aportaciones y controversias en cirugía de mano	Revista de la sociedad andaluza de traumatología y ortopedia
Preterm birth and/or low birth weight are associated with periodontal disease and the increased placental immunohisto-chemical expression of inflammatory markers	Histology and histopathology
Primary cutaneous and subcutaneous leiomyosarcomas: review of their evolution and prognostic factors	European journal of dermatology
Relationship between periodontal parameters and plasma cytokine profiles in pregnant woman with preterm birth or low birth weight	Clinical oral investigations
Significance of the	

immunohistochemical expression of bone morphogenetic protein-4 in bone maturation after maxillary sinus grafting in humans	Clinical implant dentistry and related research
Smoothelin and wt-1 expression in glomus tumors and glomuvenous malformations.	Histology and histopathology
The 1st baltic osseointegration academy and lithuanian university of health sciences consensus conference 2016. summary and consensus statements: group ii- peri implantitis diagnostics and decision tree	Journal oral & maxillofacial research
The role of melatonin in periodontal and periimplant bone homeostasis and regeneration	Journal of oral science & rehabilitation
Trapeziectomy with ligament reconstruction and tendon interposition arthroplasty with the entire width of the flexor carpi radialis tendon	Techniques in hand & upper extremity surgery
Abutment height influences the effect of platform switching on peri-implant marginal bone loss	Clinical oral implants research
Cirugía mínimamente invasiva con placa de comprensión percutánea en el tratamiento de las fracturas de la región intertrocanterea del anciano	Facultad de medicina de granada. dpto. de cirugía y sus especialidades
Clinical application of mesenchymal stem cells and novel supportive therapies for oral bone regeneration	Biomed research international
Human mesenchymal stem cells enhance the systemic effects	Oncotarget

of radiotherapy	
Immunohistochemical osteopontin expression in bone xenograft in clinical series of maxillary sinus lift	Journal of oral science & rehabilitation
Immunological detection of glutamyl aminopeptidase in urine samples from cisplatin-treated rats	Proteomics. clinical applications
Influence of the crown-implant connection on the preservation of peri-implant bone: a retrospective multifactorial analysis	The international journal of oral & maxillofacial implants
Immunological detection of glutamyl aminopeptidase in urine samples from cisplatin treated rats	Proteomics. clinical applications
Melatonin reduces hepatic mitochondrial dysfunction in diabetic obese rats	Journal of pineal research
Oral bacteria in placental tissues: increased molecular detection in pregnant periodontitis patients	Oral diseases
Osteoarticular expression of musashi-1 in an experimental model of arthritis	Biomed research international
Preterm birth and/or low birth weight are associated with periodontal disease and the increased placental immunohistochemical expression of inflammatory markers	Histology and histopathology
Renal clear cell carcinoma acrometastasis. an unusual terminal condition	
Significance of the immunohistochemical expression of bone morphogenetic protein-4 in bone maturation after maxillary sinus	Clinical implant dentistry and related research

grafting in humans	
Two cases of an atypical presentation of necrotizing stomatitis	Journal of periodontal & implant science
Análisis clínico y anatomopatológico de las variables que condicionan la supervivencia del riñón de donante en el trasplante renal: papel de la poli [adp-ribosa] polimerasa 1 (parp1)	Universidad de granada. facultad de medicina
Acute myocardial infarct size is related to periodontitis extent and severity	Journal of dental research
Adrenomedullin protects from experimental autoimmune encephalomyelitis at multiple levels	Brain, behavior and immunity
An ex vivo model in human femoral heads for histopathological study and resonance frequency analysis of dental implant primary stability	Biomed research international
Association between cox-2 rs 6681231 genotype and interleukin-6 in periodontal connective tissue. a pilot study	Plos one
Capítulo 10: sección y separación de tejidos	Manual practico de cirugia ortopedica y traumatologia
Capítulo 13: reducción cerrada de fracturas y luxaciones	Manual practico de cirugia ortopedica y traumatologia
Capítulo 14: luxaciones de la cintura escapular	Traumatología y cirugía ortopédica
Capítulo 16: operaciones en las articulaciones	Manual practico de cirugia ortopedica y traumatologia
Capítulo 17: artroscopia	Manual practico de cirugia ortopedica y traumatologia
Capítulo 19: operaciones en los nervios	Manual practico de cirugia ortopedica y traumatologia
Capítulo 19: operaciones en los	Manual practico de cirugia ortopedica y traumatologia

tendones	
Capítulo 1: escenarios clínicos para las prácticas de cirugía ortopédica y traumatología	Manual practico de cirugia ortopedica y traumatologia
Capítulo 2: historia clínica en traumatología	Manual practico de cirugia ortopedica y traumatologia
Capítulo 4: preparación aséptica del cirujano para la intervención	Manual practico de cirugia ortopedica y traumatologia
Capítulo 5: indumentos del cirujano ortopédico	Manual practico de cirugia ortopedica y traumatologia
Capítulo 6: colocación del paciente para la cirugía	Manual practico de cirugia ortopedica y traumatologia
Capítulo 7: preparación del campo operatorio	Manual practico de cirugia ortopedica y traumatologia
Capítulo 8: instrumental quirúrgico básico en cirugía ortopédica y traumatología	Manual practico de cirugia ortopedica y traumatologia
Chronic hydroxychloroquine improves endothelial dysfunction and protects kidney in a mouse model of systemic lupus erythematosus	Hypertension
Decrease tubular kidney thy-1 expression in cisplatin treated rats with 5-aminoisoquinoline part inhibitor improve renal funtion.	Virchows archiv. the european journal of pathology.
Disease-free survival related factors in breast cancer	Medicina clínica
Evaluación clínico radiográfica de una serie de 18 carpectomías de la primera hilera	Revista de la sociedad andaluza de traumatología y ortopedia
Historia clínica en traumatologia	Manual practico de cirugia ortopedica y traumatologia
High-intensity exercise may compromise renal morphology in rats	International journal of sports medicine
Identification of	

histological patterns in clinically affected and unaffected palm regions in dupuytren's disease	Plos one
Low serum mannose-binding lectin levels are associated with inflammation and apoptosis in early surveillance allograft biopsies	Transplant immunology
Morphological evidences of bio-oss colonization by cd44-positive cells	Clinical oral implants research
Marginal bone loss around implants placed in maxillary native bone or grafted sinuses: a retrospective cohort study	Clinical oral implants research
Marginal bone loss as success criterion in implant dentistry: beyond 2 mm	Clinical oral implants research
Morphological and immunohistochemical evaluation of ganglion cysts. cross-sectional study of 354 cases	Histology and histopathology
Morphological evidences of bio-oss(®) colonization by cd44-positive cells	Clinical oral implants research
Peripheral nerve reconstruction with epsilon-caprolactone conduits seeded with vasoactive intestinal peptide gene-transfected mesenchymal stem cells in a rat model	Journal of neural engineering
Prosthetic abutment height is a key factor in peri-implant marginal bone loss	Journal of dental research
Sauvé-kapandji and reverse sauvé-kapandji procedures for treating chronic longitudinal radioulnar dissociation with capitellum fracture	Acta orthopaedica et traumatologica turcica
Sensitivity of	

Sensitivity of resonance frequency analysis for detecting early implant failure: a case-control study	The international journal of oral & maxillofacial implants
Therapeutic effect of human amniotic membrane-derived cells on experimental arthritis and other inflammatory disorders	Arthritis care and research
Therapeutic efficacy of stable analogues of vasoactive intestinal peptide against pathogens	Journal of biological chemistry
Tobacco consumption induces alveolar crest height loss independently of mandibular bone mass and bone density.	Clinical oral implants research
Whey versus soy protein diets and renal status in rats	Journal of medicinal food
Adipose-derived mesenchymal stromal cells induce immunomodulatory macrophages which protect from experimental colitis and sepsis	Gut
Adipose-derived mesenchymal stromal cells induce immunomodulatory macrophages which protect from experimental colitis and sepsis.	Gut
Analgesic effect of the neuropeptide cortistatin in murine models of arthritic inflammatory pain.	Arthritis and rheumatism
Are periodontal bacterial profiles and placental inflammatory infiltrate in pregnancy related to birth outcomes?	Journal of periodontology
Are periodontal bacterial profiles and placental inflammatory infiltrate in pregnancy related to birth outcomes?	Journal of periodontology

Capítulo 15: lesiones nerviosas en la región palmar de la mano: mediano, cubital y nervios colaterales	Tratamiento de una lesión del nervio periférico en cirugía ortopédica y traumatología. 6ª monografía sato
Capítulo 16:nervio cubital. casos clínicos	Anatomía quirúrgica del plexo braquial y de los nervios periféricos de la extremidad superior
Combination of fibrin-agarose hydrogels and adipose-derived mesenchymal stem cells for peripheral nerve regeneration	
Cortistatin inhibits migration and proliferation of human vascular smooth muscle cells and decreases neointimal formation on carotid artery ligation.	Circulation research
Efecto protector del preconditionamiento con triyodotironina en un modelo experimental de isquemia/reperfusión renal en ratas	Facultad de medicina. universidad de granada. (granada, españa)
Influence of thyroid state on cardiac and renal capillary density and glomerular morphology in rats.	Journal of molecular endocrinology
Marginal bone loss in implants placed in grafted maxillary sinus	Clinical implant dentistry and related research
Morphological and immunohistochemical evaluation of ganglion cysts. cross-sectional study of 354 cases	Histology and histopathology
Parp inhibition attenuates histopathological lesion in ischemia/reperfusion renal mouse model after cold prolonged ischemia	The scientific world journal
Parp-1 regulates metastatic melanoma through modulation of vimentin-induced malignant transformation.	Plos genetics
Paradoxical effect of cortistatin treatment	

and its deficiency on experimental autoimmune encephalomyelitis.	Journal of immunology
Periodontitis como factor de riesgo de partos prematuros y/o bajo peso	Universidad de granada. facultad de odontologia,españa
Preconditioning with triiodothyronine improves the clinical signs and acute tubular necrosis induced by ischemia/reperfusion in rats.	Plos one
Protective role of the neuropeptide urocortin ii against experimental sepsis and leishmaniasis by direct killing of pathogens.	Journal of immunology
Rationale of salvage procedures for failed resection arthroplasties of the distal radio-ulnar joint	Hard tissue
Slow resorption of anorganic bovine bone by osteoclasts in maxillary sinus augmentation.	Clinical implant dentistry and related research
Therapeutic effect of ghrelin in experimental autoimmune encephalomyelitis by inhibiting antigen-specific th1/th17 responses and inducing regulatory t cells	Brain, behavior and immunity
Therapeutic effect of ghrelin in experimental autoimmune encephalomyelitis by inhibiting antigen-specific th1/th17 responses and inducing regulatory t cells	Brain, behavior and immunity
Tobacco consumption induces alveolar crest height loss independently of mandibular bone mass and bone density	Clinical oral implants research

Alveolar bone level is not associated with vitamin d receptor gene polymorphism and bone density in mandible.	Clinical oral investigations
Complications associated with implant migration into the maxillary sinus cavity.	Clinical oral implants research
Corona mortis artery avulsion due to a stable pubic ramus fracture	Orthopedics
Cyclooxygenase-2 expression in gingival biopsies from periodontal patients is correlated with connective tissue loss.	Journal of periodontology
Disfiguring basal cell carcinoma of the nose ("clown nose")	Ear, nose & throat journal
Heat shock protein 60 kda and atherogenic dyslipidemia in patients with untreated mild periodontitis: a pilot study	Cell stress & chaperones
Heat-shock protein 60 kda and atherogenic dyslipidemia in patients with untreated mild periodontitis: a pilot study.	Cell stress & chaperones
Long-term consequences of uninephrectomy in male and female rats.	Hypertension
Mt1 melatonin receptor expression in warthin's tumor.	Pathology & oncology reserch
Mtnr1a receptor expression in normal and pathological human salivary glands	Anticancer res";"0250-7005";"12437";"1.656";"1.511";"0.169";&q
Predictive factors for maxillary sinus augmentation outcomes: a case series analysis	Implant dentistry
Slow resorption of anorganic bovine bone by osteoclasts in	Clinical implant dentistry and related research

maxillary sinus augmentation.	
Soft tissue osteochondroma	Medicina clínica
Traumatología laboral	Tratado de medicina del trabajo
Two-year outcomes of elektra prosthesis for trapeziometacarpal osteoarthritis: a longitudinal cohort study	Revista española de cirugía osteoarticular
Urinary aminopeptidase activities as early and predictive biomarkers of renal dysfunction in cisplatin-treated rats	Plos one
Urinary aminopeptidase activities as early and predictive biomarkers of renal dysfunction in cisplatin-treated rats	Plos one
Afectación muscular primaria por echinococcus granulosus	Rev s and traum y ortop
Chronic (-)-epicatechin improves vascular oxidative and inflammatory status but not hypertension in chronic nitric oxide-deficient rats	British journal of nutrition
Dental implant migration in grafted maxillary sinus	Implant dentistry
Digital flexion contracture and severe carpal tunnel syndrome due to tophaceous infiltration of wrist flexor tendon: first manifestation of gout	Orthopedics
Expression of smoothelin and smooth muscle actin in the skin.	Histology and histopathology
Effect of anorganic bovine bone to autogenous cortical bone ratio upon bone remodeling pattern in maxillary sinus augmentation	Clinical oral implants research

Human umbilical cord stromal stem cell express cd10 and exert contractile properties	Placenta
Multiple eccrine hidrocystomas on the upper lip: a case report	The american journal of dermatopathology
Multifocal oral melanoacanthoma and melanotic macula in patient after dental implant surgery	Journal of the american dental association
Oral pathogens, immunity and periodontal diseases	Current immunology reviews
Osteosíntesis de fracturas peritrocantéreas de cadera con placa de compresión percutánea	Rev ortop traum
Perioperative management of non-biological and biological therapies in rheumatic patients undergoing orthopedic surgery	Challenges in rheumatology
Role of cancer stem cells of breast, colon, and melanoma tumors in the response to antitumor therapy	Stem cells and cancer stem cells: therapeutic applications in disease and injury, volume 2
Red wine polyphenols prevent endothelial dysfunction induced by endothelin-1 in rat aorta: role of nadph oxidase.	Clinical science
Regeneración de nervios periféricos mediante constructos tridimensionales de células madre mesenquimales de la grasa e hidrogeles de fibrina-agarosa	
Role of wettability and nanoroughness on interactions between osteoblast and modified silicon surfaces	Acta biomaterialia
Rupture of small finger flexor tendons	

secondary to asymptomatic nonunion of the hamate hook	Orthopedics
Salt sensitivity in experimental thyroid disorders in rats.	American journal of physiology: endocrinology and metabolism
Unknown: a woman with nodular lesion in a patient with diabetes mellitus.	Dermatology online journal
Valor diagnóstico del registro continuo de presión intracraneal (pic) en pacientes con alteraciones en la dinámica del lcr	Universidad de granada. anatomía patológica e historia de la ciencia
A 5 year-old boy with comedo-like lesions on the right buttock	Dermatology online journal
Acantholytic-like malignant melanoma: an unusual morphologic variant	The american journal of dermatopathology
Adjuvant docetaxel for high-risk, node-negative breast cancer	The new england journal of medicine
Cutaneous granular cell tumor of the breast: a clinical diagnostic pitfall	Journal of clinical medicine research
Cutaneous metastasis as first clinical manifestation of signet ring cell gastric carcinoma	Dermatology online journal
Cutaneous granular cell tumor of the breast: a clinical diagnostic pitfall	Journal of clinical medicine research
Extramammary paget disease of scrotum with oncocytic changes	The american journal of dermatopathology
Facial sebaceous carcinoma: muir-torre syndrome	Medicina clínica
Failed digital nerve reconstruction by foreign body reaction to neurolac® nerve conduit	Microsurgery
Human adipose-derived mesenchymal cells reduce inflammatory and t cell	Annals of the rheumatic diseases

responses and induce regulatory t cells in vitro in rheumatoid arthritis.	
Histomorphometric comparison of maxillary pristine bone and composite bone graft biopsies obtained after sinus augmentation	Clinical oral implants research
Inhibition of poly adenosine diphosphate-ribose polymerase decreases hepatocellular carcinoma growth by modulation of tumor-related gene expression	Hepatology
Intestinal eosinophilic: anisakiasis	Journal of medical cases
Intragraft expression of the il-10 gene is up-regulated in renal protocol biopsies with early interstitial fibrosis, tubular atrophy, and subclinical rejection	The american journal of pathology
Inhibition of poly (adp-ribose) polymerase decreases hepatocellular carcinoma growth by modulation of tumour-related gene expression.	Hepatology
Intratesticular epidermoid cyst: a rare tumor	Journal of clinical medicine research
Microglial response to light-induced photoreceptor degeneration in the mouse retina	The journal of comparative neurology
Myositis ossificans circumscripta without history of trauma	Journal of clinical medicine research
Oxidized regenerated cellulose does not prevent the formation of experimental postoperative perineural fibrosis assessed by digital analysis	Histology and histopathology
Refractive	

Perforating pilomatricoma mimicking a keratoacanthoma	Egyptian dermatology online journal
Role of sympathetic tone in bso-induced hypertension in mice	American journal of hypertension
Unknown: a man with infiltrated and indurated plaque on the forehead	Dermatology online journal
Unknown: a woman with an erythematous nodule on the scalp.	Dermatology online journal
Activated carbon cloth as support for mesenchymal stem cell growth and differentiation to osteocytes	Carbon
Biopsia renal: procesamiento histológico e interpretación	Nefrología clínica
Duroc and iberian pork neural network classification by visible and near infrared reflectance spectroscopy	Journal of food engineering
Effect of blockade of tumor necrosis factor- α with etanercept on surgical wound healing in swiss-of1 mice	Journal of rheumatology
Effects of environmental stress on mrna and protein expression levels of steroid 5 α -reductase isozymes in adult rat brain.	Hormones and behavior
Methotrexate-associated lymphoproliferative disorder presenting as oral ulcers in a patient with rheumatoid arthritis.	
Multiple eccrine hidrocystomas on the upper lip: a case report	Cases journal
Poly[adp-ribose] polymerase-1 expression is related	

to cold ischemia, acute tubular necrosis, and delayed renal function in kidney transplantation	Plos one
Poly[adp-ribose] polymerase-1 expression is directly related to acute tubular necrosis, cold ischemia, and delayed renal function in kidney transplantation	Plos one
Quercetin inhibits vascular superoxide production induced by endothelin-1: role of nadph oxidase, uncoupled enos and pkc.	Atherosclerosis
Úlceras orales como manifestación clínica de proceso linfoproliferativo asociado a metotrexato en una paciente con artritis reumatoide.	Actas dermo-sifiliográficas
Descripción de una técnica simplificada para elevación de seno	Periodoncia
Embryonic and postnatal development of microglial cells in the mouse retina	The journal of comparative neurology
Genetic association of vasoactive intestinal peptide receptor with rheumatoid arthritis: altered expression and signal in immune cells.	Arthritis and rheumatism
In vivo delivery of lentiviral vectors expressing vasoactive intestinal peptide complementary dna as gene therapy for collagen-induced arthritis	Arthritis and rheumatism
Ischemic contracture of deep posterior compartment of the leg following isolated ankle fracture	Journal of american podiatric medical association
Multivariate study of factors influenci	

primary dental implant stability	Clinical oral implants research
Paciente con dolor, deformidad y parestesias del nervio mediano de la muñeca después de un traumatismo	Libro de casos clínicos de residentes en cirugía ortopédica y traumatología. 2008
Periodontitis and atherosclerosis, a causal relationship?	Anti-inflammatory and anti-allergy agents in medicinal chemistry
Vivir y sentir la universidad	Universidad de granada
Wine polyphenols improve endothelial function in large vessels of female spontaneously hypertensive rats	Hypertension
Wine polyphenols improve endothelial function in large vessels of female spontaneously hypertensive rats	Hypertension
Adrenomedullin protects from experimental arthritis by down-regulating inflammation and th1 response and inducing regulatory t cells.	The american journal of pathology
Biopsia renal en trasplante de donante añoso	Actualizaciones en trasplantes 2007
Dibujo-diseño- 'disegno'	El dibujo en la colección de arte contemporáneo de la universidad de granada
Efecto del bloqueo del factor de necrosis tumoral alfa (etanercept) sobre la curación de las heridas quirúrgicas. estudio experimental en ratones swss-of1	Universidad de granada. cirugía y sus especialidades
Evaluation of sinus floor elevation using a composite bone graft mixture	Clinical oral implants research
Efecto de bloqueo del factor de necrosis tumoral alfa(etanercept) sobre la curación de las heridas quirúrgicas. estudio experimental en ratones swiss-of1	

Image analysis application for automatic quantification of intramuscular connective tissue in meat	Journal of food engineering
Immunephenotype of glomerular and interstitial infiltrating cells in protocol renal allograft biopsies and histological diagnosis	American journal of transplantation
Immunophenotype of infiltrating cells in protocol renal allograft biopsies from tacrolimus-versus cyclosporine-treated patients	Transplantation
Lesión endoperiodontal por piercing lingual. revisión, tratamiento y evolución a tres años de un caso	Clinical oral implants research
Nuevas aplicaciones informáticas para la clasificación de la carne de cerdo ibérico empleando morfometría y reflectancia espectral	Universidad de granada. anatomía patológica e historia de la ciencia
Nuevas aplicaciones informáticas para la clasificación de la carne de cerdo ibérico empleando morfometría y reflectancia espectral	
Periodontal and oral microbiological status of an adult population undergoing haemodialysis: a cross-sectional study.	Oral diseases
Permeability and mass transfer as a function of the cooking temperature during the frying of beefburgers by oroszvari b.k., rocha c.s., sjoholm i. & tornberg e. [journal of food engineering 74 (2006) 1-12]	Journal of food engineering

Poly(adp-ribose) polymerase expression in kidney transplantation: from alfa (alpha) to omega (omega)	Transplantation proceedings
Polyphenols restore endothelial function in doca-salt hypertension: role of endothelin-1 and nadph oxidase	Free radical biology & medicine
Polyphenols restore endothelial function in doca-salt hypertension: role of endothelin-1 and nadph oxidase	Free radical biology & medicine
Therapeutic effect of a poly(adp-ribose) polymerase-1 inhibitor on experimental arthritis by downregulating inflammation and th1 response.	Plos one
Therapeutic effect of urocortin on collagen-induced arthritis by down-regulation of inflammatory and th1 responses and induction of regulatory t cells.	Arthritis and rheumatism
Behavior of in vitro cultured ameboid microglial cells migrating on muller cell end-feet in the quail embryo retina.	Glia
Early implant failure. prognostic capacity of periostest((r)): retrospective study of a large sample	Clinical oral implants research
Effects of angiotensin-converting-enzyme inhibitors in combination with diuretics on blood pressure and renal injury in nitricoxide-deficiency-induced hypertension in rats	Clinical science
El papel del anatomopatólogo en el trasplante renal	Revista (alcer granada)
Inhibition of poly(adp-	

<p>inhibition of poly(adp-ribose) polymerase modulates tumor-related gene expression, including hypoxia-inducible factor-1 activation, during skin carcinogenesis</p>	Cancer research
<p>La sobreexpresión de poli (adp-ribosa) polimerasa se correlaciona con el desarrollo de necrosis tubular aguda y con la función precoz del trasplante renal</p>	Patología
<p>Pie cavo y deformidad en garra de los dedos secundarios a fractura aislada de tobillo</p>	Libro de casos clínicos de residentes en cirugía ortopédica y traumatología. 2006
<p>Rechazo subclínico, una entidad de interés emergente subclinical rejection, a condition of an emergent interest</p>	Nefrología
<p>Renal transplantation in the northwest of spain: analysis of the activity in the region of galicia trasplante renal en el noroeste español. análisis de la actividad en la comunidad autónoma de galicia</p>	Nefrología
<p>Specific immunolabeling of brain macrophages and microglial cells in the developing and mature chick central nervous system</p>	Journal of histochemistry and cytochemistry
<p>Activation of immature microglia in response to stab wound in embryonic quail retina</p>	The journal of comparative neurology
<p>Aplicación de periostio en un modelo experimental de cicatrización tendinosa en conejo</p>	Revista española de cirugía ortopédica y traumatología
<p>Eficacia del drenaje de</p>	

autotransfusion en la cirugía primaria de prótesis de cadera y rodilla	Revista española de cirugía ortopédica y traumatología
Estudio de la angiogénesis intratumoral en el cáncer de colon. aplicaciones del análisis de imagen	Universidad de granada. anatomía patológica e historia de la ciencia
Endothelial nitric oxide production stimulated by the bioflavonoid chrysin in rat isolated aorta	Planta medica
Role of poly (adp-ribose) polymerase in kidney transplant and its relationship with delayed renal function. multivariate analysis.	Transplantation proceedings
Role of poly-(adp-ribose) polymerase in transplant acute tubular necrosis and its relationship with delayed renal function	Transplantation proceedings
Traumatología laboral	Tratado de medicina del trabajo
Benign fibrous histiocytoma with indeterminate cells and eosinophils - collision, differentiation, or involution?	The american journal of dermatopathology
Consideraciones preoperatorias en pacientes con artritis reumatoide sometidos a cirugía ortopédica. nuevas terapias biológicas	Revista de la sociedad andaluza de traumatología y ortopedia
Correlation of morphological findings with functional reserve in the aging donor: role of the poly (adp-ribose) polymerase	Transplantation proceedings
Crosstalk between parp-1 and nf-kappa b modulates the promotion of skin neoplasia	Oncogene
Effects of the dietary flavonoid chrysin in isolated rat mesenteric vascular bed	Journal of vascular research

vascular de.	
El nitrógeno líquido: aplicaciones	Técnica y contrastes : tragabuches
El nitrógeno líquido: bases teóricas	Técnica y contrastes : tragabuches
Placa indurada en región supramamaria derecha en un adolescente	Revista clinica española
Protective effects of the angiotensin ii type i (at1) receptor blockade in low-renin deoxycorticosterone acetate (doca)-treated spontaneously hypertensive rats	Clinical science
Radial migration of developing microglial cells in quail retina: a confocal microscopy study	Glia
Talalgia y sarcoidosis	Investigación clínica
Valoración del oncogén her2/neu en cancer ductal infiltrante de mama. estudio comparativo entre inmunohistoquímica, hibridación in situ y análisis de imagen	Universidad de granada. anatomía patológica e historia de la ciencia
Vigabatrin-induced modification of ki-67 expression in gingival epithelium: immunohistochemical study of a short series	Journal of periodontal research
Anatomía patológica: clasificaciones anatomo-patológicas	Tumores del sistema nervioso central en el adulto y en la infancia: enfoque multidisciplinario neuro-oncológico
Antibiotic treatment of incipient drug-induced gingival overgrowth in adult renal transplant patients	Journal of periodontal research
Aportaciones de la biología molecular al estudio de la nefropatía crónica del injerto	Universidad de granada. anatomía patológica e historia de la ciencia
Biopsia renal:procesamiento histológico e interpretación	Nefrología clínica
Correlación interlaboratorio en la	

valoración de la expresión de glicoproteína p en sangre periférica por citometría de flujo	Revista de la facultad de farmacia de la universidad de los andes
Effects of omapatrilat on blood pressure and renal injury in l-name and l-name plus doca-treated rats	American journal of hypertension
Estructura e inmunología de la membrana sinovial humana, normal y patológica	Universidad de granada. anatomía patológica e historia de la ciencia
Expresión del gen de la glicoproteína p e hipoxia pulmonar. estudio experimental	Investigacion clinica
Lifestyles, environmental and phenotypic factors associated with lip cancer: a case-control study in southern spain	British journal of cancer
Markers of metastasis in lip cancer	European journal of dermatology
Melanoma de extremidades: factores de pronóstico clínico, histológico y molecular	Universidad de granada. medicina
Nevus melanocíticos benignos: clínica, histología y epiluminiscencia	Clinicas dermatológicas de la aedv
Rotura espontánea de los tendones extensores de la muñeca y mano en pacientes con artritis reumatoide. estudio retrospectivo	Revista española de reumatología
Sinovectomía y resección de la cabeza radial en el codo reumático estadio iii	Revista de la sociedad andaluza de traumatología y ortopedia
Adenomatoid tumors of the uterus: an analysis of 60 cases	International journal of gynecological pathology
Antiproliferative effect of topic hyaluronic acid gel. study in gingival biopsies of patients with	Histology and histopathology

periodontal disease	
Artrodesis de muñeca mediante la técnica de mannerfelt en la artritis reumatoide	Revista de la sociedad andaluza de traumatología y ortopedia
Bases moleculares y repercusión clínica de la resistencia a múltiples fármacos	Investigación clínica
Bases moleculares y repercusión clínica de la resistencia múltiple a fármacos	Investigación clínica
Chronic alpha1-adrenergic blockade improves hypertension and renal injury in l-name and low-renin l-name-doca hypertensive rats	Materials science & engineering b: solid-state materials for advanced technology
El maxilar inferior del orden lagomorpha como material de investigación en implantología experimental	Avances en periodoncia
El metronidazol en los agrandamientos gingivales secundarios a ciclosporina a	Avances en periodoncia
El metronidazol en los agrandamientos gingivales secundarios a ciclosporina a	Avances en periodoncia e implantología oral
Florid vascular proliferation in grade 0 glial implants from ovarian immature teratoma	International journal of gynecological pathology
Histología, biomecánica y morfometría de la cicatrización tendinosa con interposición de ácido hialurónico, politetrafluoroetileno y periostio. modelo experimental en conejo	Universidad de granada. cirugía y sus especialidades
Hydroxyapatite-coated stems with metaphyseal and diaphyseal press-fit. eleven-year follow-up results	Acta orthopaedica belgica
Influencia de la	

influencia de la herencia en la periodontitis	Periodoncia
Lipomas en la cavidad oral. presentación de seis casos clínicos	Avances en odontoestomatología
Morfología y marcadores moleculares de lesión de riñones de donantes añosos	Revista de la sociedad española de diálisis y trasplante
Nevus azul con área central despigmentada	Revista internacional de dermatología y dermocosmética clínica
Protective effects of the flavonoid quercetin in chronic nitric oxide deficient rats.	Journal of hypertension
Variabilidad en la expresión del gen mdr1 y glicoproteína p en sujetos sanos. estudio en sangre periférica	Investigación clínica
Adenomatoid tumors of the uterus: an analysis of 60 cases	International journal of gynecological pathology
Efecto de un gel ácido hialurónico en la enfermedad periodontal. estudio clínico e histopatológico	Periodoncia
Estudio prospectivo biomoleculares de las mutaciones de los genes p53 y k-ras en pacientes sometidas a tratamientos con tamoxifeno	Universidad de granada. anatomía patológica e historia de la ciencia
Interacción del sistema nervioso simpático y sistema renina angiotensina en el mantenimiento de la hta por inhibición crónica de la biosíntesis del oxido nítrico	Universidad de granada. fisiología
Liver fibrosis assessment with semiquantitative indexes and image analysis quantification in sustained-responder and non-responder interferon-treated patients with chronic hepatitis c	Journal of hepatology

Nefropatía crónica del injerto. estudio clínico, morfológico y molecular	Actualidad médica
Pili annulati (pelos anillados). estudio con microanálisis de rx	Actas dermo-sifiliográficas
Procedimiento de análisis de imagen para cuantificar bandas fluorescentes de ácidos nucleicos sobre electroforesis en geles en dos dimensiones	Investigación clínica
Presentación de un caso de carcinoma de células pequeñas de pulmón	Revista de la facultad de farmacia de la universidad de los andes
Surgical treatment of three part proximal humeral fractures	Acta orthopaedica belgica
Tratamiento de la melanosis gingival mediante mucoabrasión. estudio inmunohistoquímico en un paciente con pigmentaciones melánicas múltiples.	Periodoncia
Anticonvulsant-induced toxic epidermal necrolysis: monitoring the immunologic response	Journal of allergy and clinical immunology
Automatic quantification of liver fibrosis: design and validation of a new image analysis method: comparison with semi-quantitative indexes of fibrosis	Journal of hepatology
Deoxycorticosterone suppresses the effects of losartan in nitric oxide-deficient hypertensive rats	Journal of the american society of nephrology
Expresión del gen mdr1 y glicoproteína en linfocitos de sujetos sanos y pacientes sometidos a inmunosupresión	Universidad de granada. anatomía patológica e historia de la ciencia
Expresión inmunohistoquímica de oncoproteína p	

de glicoproteína p como factor pronóstico en sarcomas óseos	Revista española de cirugía ortopédica y traumatología
Expresión inmunohistoquímica de glicoproteína p como factor pronóstico en sarcomas óseos	Revista española de cirugía ortopédica y traumatología
Morfología y marcadores moleculares de lesión de riñones de donantes añosos.	Revista de la sociedad española de diálisis y trasplante
Role of intrarenal endothelin 1, endothelin 3, and angiotensin ii expression in chronic cyclosporin a nephrotoxicity in rats	Experimental nephrology (print)
Study of co-infection of hepatitis g virus in chronic hepatitis c. response to alpha interferon	Medicina clínica
Tnf-alpha dependent production of inducible nitric oxide is involved in pge(1) protection against acute liver injury	Gut
Cartilage and serum levels of nitric oxide in patients with hip osteoarthritis	Journal of rheumatology
Epifisiolisis femoral superior familiar	Revista de la sociedad andaluza de traumatología y ortopedia
Fracturas estallido de columna toracolumbar. evaluación clinicorradiológica y terapéutica de 90 casos	Revista española de cirugía osteoarticular
Glicoproteína-p, tgf-beta y endotelinas en la nefropatía crónica del injerto, un estudio molecular	Revista de la sociedad española de diálisis y trasplante
Isolation of an anti-hepatotoxic principle from the juice of ecballium elaterium	Planta medica
Mullerianosis of the ureter: a metaplastic lesion	The journal of urology

Prevencción de las alteraciones cardiovasculares asociadas al uso de cemento óseo acrílico con fármacos antihistaminicos	Revista de la sociedad andaluza de traumatología y ortopedia
Radicales libres de oxígeno e insuficiencia renal en el anciano	Nefrología
Repercusiones biológicas del cemento óseo de polimetilmetacrilato	Revista de la sociedad andaluza de traumatología y ortopedia
Age-related increase in expression of tgf-beta 1 in the rat kidney: relationship to morphologic changes	Journal of the american society of nephrology
Altered drug membrane permeability in a multidrug-resistant leishmania tropica line	Biochemical pharmacology
Artroscopia de cadera : experiencia en nuestro servicio	Cuadernos de artroscopia
Design and validation of a new image analysis method for automatic quantification of interstitial fibrosis and glomerular morphometry.	Laboratory investigation
Extrauterine (tubal) placental site nodule	Histopathology
Immunohistochemical quantification of leukocyte subsets in the long-term prognosis of kidney transplants	Transplantation proceedings
Niveles séricos de óxido nítrico en pacientes con artrosis primaria generalizada	Revista española de reumatología
P glycoprotein: a new mechanism to control drug-induced nephrotoxicity	Experimental nephrology (print)
P-glycoprotein expression in acute kidney graft rejection	Transplantation proceedings
Role of p-glycoprotein in chronic cyclosporine	

nephrotoxicity and its relationship to intrarenal angiotensin ii deposits	Transplantation proceedings
Vástagos cementados y no cementados en artroplastias totales de cadera por coxopatías mecánicas	Revista española de cirugía osteoarticular
Agonistic anti-fas antibodies induce glomerular cell apoptosis in mice in vivo	Kidney international
Anatomía patológica de la hipertensión arterial y sus repercusiones renales	Hipertensión arterial. 1997.
Anatomía patológica de la hipertensión arterial y sus repercusiones renales	Hipertensión arterial 1997
Biopsia renal: procesamiento histológico e interpretación	Nefrología clínica
Captopril inhibits pp60(c-src) tyrosine phosphorylation in cultured human mesangial cells	European journal of pharmacology
Chronic cyclosporin a nephrotoxicity, p-glycoprotein overexpression, and relationships with intrarenal angiotensin ii deposits	The american journal of pathology
Mecanismos moleculares en la progresion de la fibrosis intersticial en nefropatias cronicas	Ars pharmaceutica
Sarcomas primarios de hueso. estudio por citometria estatica mediante analisis digital de imagen	Revista española de cirugía osteoarticular
Sarcomas primarios de hueso. estudio por citometría estática mediante análisis digital de imagen	Revista española de cirugía osteoarticular
Sarcomas primarios de hueso. estudio por citometría estática mediante análisis	Revista española de cirugía osteoarticular

mediante análisis digital de imagen revista.	
Valoración morfológica del epitelio gingival. cuantificación de los cambios morfológicos mediante análisis digital de imagen	Archivos de odontoestomatología
Ace inhibitors in the prevention of renal lesions associated to the ageing process	Nefrología
Efectos de nutrientes en la síntesis del alginato por azotobacter vinelandii y caracterización del alginato producido.	Microbiología (madrid)
Fractura por stress de rótula como causa de dolor en la rodilla	Revista de la sociedad andaluza de traumatología y ortopedia
Papel de los inhibidores de la enzima de conversión de la angiotensina en la prevención de las alteraciones renales asociadas al envejecimiento.	Nefrología
Papel de los inhibidores del enzima de conversión de la angiotensina en la prevención de las alteraciones renales asociadas al envejecimiento	Nefrología
Sarcomas primarios de hueso. valoración clínico-patológica, inmunohistoquímica y citométrica	Universidad de granada. cirugía y sus especialidades
Actividad biológica in vitro de nuevos retinoides sintéticos sobre la proliferación, diferenciación y multirresistencia a fármacos en la línea celular de carcinoma de mama mcf-7. estudio comparativo con el ácido retinoico	Universidad de granada. anatomía patológica e historia de la ciencia
Comparación entre la hibridación in situ y la inmunohistoquímica	

para el diagnóstico rápido de infección por citomegalovirus en biopsias tisulares. estudio de cinco casos	Revista española de patología
Detection of hepatitis-b virus in the liver by in-situ hybridization (ish) in hbsag seropositive and seronegative patients	Histology and histopathology
Differentiation of a human rhabdomyosarcoma cell-line after antineoplastic drug-treatment	Journal of pathology
Diseño y valoración de programas de análisis de imagen y sus aplicaciones a la cuantificación automática de patologías renales	Facultad de medicina universidad de granada
Gingival overgrowth induced by nifedipine and cyclosporine-a - clinical and morphometric study with image analysis	Journal of clinical periodontology
Gingival overgrowth induced by nifedipine and cyclosporin a. clinical and morphometric study with image analysis	Journal of clinical periodontology
Influence of intrarenal deposits of cyclosporine-a on acute renal-transplant rejection	Nephron
Mecanismos de nefrotoxicidad por ciclosporina a a nivel celular	Nefrología
Mechanisms of nephrotoxicity of cyclosporine-a at cellular-level	Nefrología
Relationship between p-glycoprotein expression and cyclosporine a in kidney. an immunohistological and cell culture study	The american journal of pathology

Relationship between p-glycoprotein expression and cyclosporine-a in kidney - an immunohistological and cell-culture study	The american journal of pathology
Small-cell epidermoid carcinoma with melanocyte colonization arising in a mature ovarian cystic teratoma	Archives of pathology
Accion de la ciclosporina a sobre la linea fibroblastica vero y su relacion con la sintesis de endotelina y fibrogenesis colagena	Facultad de medicina universidad de granada
Fracturas de húmero complicadas con lesión arterial	Revista española de cirugía osteoarticular
Immunohistochemical study of 30 cases of cyclosporin a-induced gingival overgrowth	Journal of periodontology
Modificaciones inducidas por la csa en la linea celular permanente de tubulo renal mdck. estudio comparativo frente a adriamicina y acido retinoico.	Universidad de granada. anatomía patológica e historia de la ciencia
Pseudoartrosis de escafoides tratadas mediante la técnica de matti russe	Revista española de cirugía osteoarticular
Presence of cytomegalovirus genome and leucocyte subsets in renal transplant biopsies. relationship with prognosis	Pathology research and practice
Synthesis of some retinoids bearing different heterocyclic rings with anticancer activity	European journal of medicinal chemistry
Fundamentos generales sobre el procesamiento histológico de los tejidos	Laboratorio de anatomía patológica
Hiperplasia gingival inducida por	

<p>inducida por ciclosporina a en trasplantados renales. estudio clinico, morfometrico, inmunohistoquimico y ultraestructural</p>	<p>Universidad de granada. anatomía patológica e historia de la ciencia</p>
<p>Histoenzimología</p>	<p>Laboratorio de anatomía patológica</p>
<p>Influencia de la ingesta sódica en la nefrotoxicidad crónica inducida por ciclosporina a sobre un modelo experimental en rata.</p>	<p>Nefrología</p>
<p>Medidas de higiene oral para la disminución de la hiperplasia gingival en los pacientes trasplantados</p>	<p>Revista de la sociedad alcer.</p>
<p>Métodos para la identificación y la tinción de pigmentos e iones metálicos</p>	<p>Laboratorio de anatomía patológica</p>
<p>Valoración clínica, histopatológica e inmunohistoquímica en biopsias renales postrasplante</p>	<p>Revista española de trasplantes</p>
<p>Carcinoma in situ del tracto aerodigestivo superior: valoración de 37 casos</p>	<p>Anales de otorrinolaringología</p>
<p>Determination of nephrotoxicity by inmnohistochemical detection of cyclosporin a and p-170 glycoprotein in posttranplant renal biopsy.</p>	<p>Kidney international</p>
<p>Estudio de las acciones de la ciclosporina a sobre líneas celulares en cultivo y su efecto sobre los fenómenos de multirresistencia a drogas dependientes de la glicoproteína p 170</p>	
<p>Glomerulonefritis proliferativa mesangial igm. análisis clínico e inmunohistoquímico diferencial con</p>	<p>Nefrología</p>

cambios mínimos y glomerulonefritis proliferativas mesangiales inmunonegativas.	Neurología
Relationship between the expression of gp 170 and intracellular deposits of csa, in 32 human postransplant biopsies and in the mdck cell line.	Patología
Anatomía patológica de la hipertensión arterial y sus repercusiones renales. en: hipertensión arterial.	Anatomía patológica de la hipertensión arterial y sus repercusiones renales. en: hipertensión arterial
Diffuse sclerosing papillary carcinoma of the thyroid gland. in situ analysis of the host immune response (dspc)	Histopathology
Profilaxis antibiótica en cirugía biliar de riesgo alto y bajo	Cirugía española
Tumores límite de partes blandas: presentación de casos más significativos y clasificación	Actas dermo-sifilográficas
Adenoma pleomorfo de las glándulas salivales: estudio de su perfil inmunohistoquímico y aportación de una vía de diferenciación celular en la génesis del tumor	Universidad de Granada. anatomía patológica e historia de la ciencia
Effects of experimental renal insufficiency on the vestibular nonsensory epithelia of the gerbil.	Advances in oto rhino laryng
Meningioma secretor. correlación clinicopatológica y revisión de la literatura	Neurocirugía-neurocirurgia
Mieloma múltiple: estudio inmunohistoquímico de sus marcadores de diferenciación	Revista española de patología
Subpoblaciones leucocitarias y	

marcadores de lesion tubular en la biopsia renal postrasplante.	Nefrología
Valoración del anticuerpo monoclonal leu-m1 en la enfermedad de hodgkin: estudio de 58 casos	Revista española de patología
Blue nevus of the maxillary sinus an immunohistochemical and electron microscopic study	Acta oto-rhino-laryngologica belgica
Differentiation in medulloblastomas immunohistochemical study of twenty-one cases	Applied pathology
Factores histopatológicos de valor pronóstico en glomerulonefritis proliferativa mesangial	Medicina clínica
Gliomas astrocitarios malignos cerebrales del adulto: criterios histológicos que condicionan su clasificación, diagnóstico y pronóstico	Neurología
Histiocitoma fibroso maligno, variedad mixoide peritoneal	Oncología
Malignant astrocytic glioma of the brain in adults: histologic criteria determining its classification, diagnosis and prognosis	Neurologia
Malignant fibrous histiocytoma retroperitoneal myxoid variety	Oncología
Oligodendroglioma. estudio clinicopatológico de 21 casos	Rev oncología
Pure testicular choriocarcinoma	Actas urológicas españolas
An ultrastructural analysis of vascular leiomyoma of the bladder	Urologia internationalis
Cystosarcoma	

phyllodes: epithelial and mesenchymal changes.	Histopathology
Experimental oxalosis in rats - an electron-microscopic study	Urologia internationalis
Human melanoma cell lines: a immunofluorescence and ultrastructural study	Journal of cutaneous pathology
Hamartomatous solitary polyp with malignant progression in the jejunum. an immunohistochemical and electron microscopy study	Acta pathologica japonica
Leiomyomas of the ovary	International journal of gynecological pathology
Miofibromatosis infantil localizada	Patología
Colagenous colitis	Medicina clínica
Infantile myofibromatosis - histogenesis	Histopathology
Linfoma centroblastico centrocítico del tiroides. análisis óptico, inmunohistoquímico y ultraestructural de dos casos.	Revista clinica española
Multiple nodules on the leg	Archives of dermatology (1960)
Fibrosis hepática congénita: presentación de tres casos	Revista española de pediatría
Lymphangioma of the duodenum: an ultrastructural study.	Endoscopy (stuttgart)
Primary small cell carcinoma of skin. histogenetical study.	Acta pathologica japonica
Tiroglobulina, t4, t3 y calcitonina en los tumores malignos primitivos de la glándula tiroides: estudio inmunohistoquímico de 102 casos.	Universidad de granada. anatomía patológica e historia de la ciencia
Carcinoma gastrico: aproximacion a su realidad biologica	

mediante un estudio morfológico, histoquímico, inmunohistoquímico y ultraestructural	Universidad de granada. anatomía patológica e historia de la ciencia
Fibrolamellar hepatocellular carcinoma. an immunohistochemical and ultrastructural study.	Histopathology
Utilidad de la pap-papg en la evaluación diagnóstica y pronóstica de los astrocitomas malignos y glioblastomas multiformes. estudio clinicopatológico de 129 casos. resultados previos.	Patología
Benign heterologous tissue components associated with endometrial carcinoma	International journal of gynecological pathology
Células con características intermedias entre las telogliales, melánicas y de las cubiertas nerviosas. ¿melanoglicocito?	Morfología normal y patológica. sección a. histología
Lecciones de histología	Talleres arte
Secuencia ultraestructural en la formación de las fibras de rosenthal	Morfología normal y patológica. sección b. anatomía patológica
Ultraestructura del germinoma pineal. presencia de sistemas de laminillas anuladas y puffs (cuerpos de balbiani). revista	Morfología normal y patológica
Anatomía patológica general-i	Ed. talleres arte
Correlación entre la citología exfoliativa y los cortes histológicos en biopsias intraoperatorias	Morfología normal y patológica. sección b. anatomía patológica
Neurohistología.	
Neurohistología. vol. i: lecciones básicas	Lucio días-flores y j.m. spreáfico
Anatomía patológica	

	Título proyecto	Tipo	Inicio	Fin
1	Proyecto de innovación docente: diseño de plataforma on-line para la enseñanza y evaluación de prácticas no presenciales	Proyecto	6/24/09	8/24/10
2	Papel del tgf-beta1, angiotensina ii, endotelinas y glicoproteína-p en el desarrollo de la nefropatía crónica del injerto	Proyecto	6/1/00	12/31/02
3	Estudio inmunohistoquímico y mediante análisis digital de imágenes de la glomeruloesclerosis y lesiones túbulo-intersticiales renales asociadas al envejecimiento	Proyecto	6/1/95	12/31/97

Actividades 5

Título actividad	Entidad	Tipo	Fecha
Participación en: sociedad española de cirugía de hombro y codo. ()		Comité científico en sociedad ci	May 1, 2003
Participación en: sociedad española de cirugía de la mano (secma). ()		Comité científico en sociedad ci	Apr 1, 2003
Participación en: sociedad española de cirugía ortopédica y traumatología (secot). ()		Comité científico en sociedad ci	Oct 6, 1992
Participación en: sociedad andaluza de traumatología y ortopedia (sato). grupo de estudio en cirugía de mano. ()		Comité científico en sociedad ci	Apr 1, 2003
Xiv congreso del secib 2016 Málaga		Comité científico en sociedad ci	Nov 17, 2016

Colaboradores 146

- FRANCISCO J. O'VALLE RAVASSA (113)
- PABLO ANTONIO GALINDO MORENO (70)
- JOSÉ FRANCISCO ANEIROS CACHAZA (56)
- DAVID AGUILAR PEÑA (54)
- FRANCISCO LUIS MESA AGUADO (53)
- PEDRO HERNÁNDEZ CORTÉS (37)
- MARIANO AGUILAR PEÑA (32)
- ANTONIO OSUNA ORTEGA (26)
- FRANCISCO NOGALES FERNANDEZ (24)
- SALVADOR ARIAS SANTIAGO (23)
- JOSÉ FÉLIX VARGAS PALOMARES (20)
- MIGUEL PADIAL MOLINA (20)
- FRANCISCO JAVIER OLIVER POZO (18)
- FRANCISCO DAVID MARTÍN OLIVA (16)
- JUAN MANUEL DUARTE PÉREZ (14)
- ANTONIO OSUNA CARRILLO DE ALBORNOZ (11)
- ELENA SANCHEZ FERNANDEZ (11)
- ANDRÉS CATENA MARTÍNEZ (9)
- FRANCISCO JESÚS ARREBOLA VARGAS (9)
- MANUEL BRAVO PÉREZ (9)
- ROSARIO JIMENEZ MOLEON (9)
- ANDRÉS QUESADA MIÑARRO (8)
- JUAN EMILIO FERNÁNDEZ BARBERO (8)
- MANUEL SÁNCHEZ SANTOS (8)
- MIGUEL ROMERO PÉREZ (8)

- ANTONIO MAGÁN FERNÁNDEZ (7)
- ELENA POZO MARTOS (7)
- ISABEL MARÍA RODRÍGUEZ GÓMEZ (7)
- MANUEL GÓMEZ GUZMÁN (7)
- SALVIO SERRANO ORTEGA (7)
- JOSE LUIS MARIN TEVA (6)
- JOSÉ MARIANO RUIZ DE ALMODOVAR RIVERA (6)
- JUAN DE DIOS LUNA DEL CASTILLO (6)
- JUAN JOSE DE LINARES SOLANO (6)
- JULIO NAVASCUÉS MARTÍNEZ (6)
- MIGUEL ANGEL CUADROS OJEDA (6)
- RUTH CALVENTE IGLESIAS (6)
- ANA MARÍA SANTOS CARRO (5)
- ANDREINA CECILIA PERALTA LEAL (5)
- JOSÉ ANTONIO MUÑOZ GÁMEZ (5)
- M. DOLORES RODRÍGUEZ MARTÍNEZ (5)
- MARIA JOSÉ ZARZUELO ROMERO (5)
- AGUSTIN BUENDIA EISMAN (4)
- ALBERTO RODRIGUEZ ARCHILLA (4)
- ANGELES RUIZ EXTREMERA (4)
- FRANCISCO JAVIER GÓMEZ JIMENEZ (4)
- ISABEL FERNANDEZ ANGEL (4)
- SALVADOR OYONARTE GOMEZ (4)
- VICTOR SEBASTIAN CARRIEL ARAYA (4)
- ANTONIO CUTANDO SORIANO (3)
- FRANCISCO JAVIER SALMERON ESCOBAR (3)
- JOSÉ LIEBANA UREÑA (3)
- MARIA DEL CARMEN CARRASCO SIERRA (3)
- MARÍA ANTONIA FERNANDEZ PUGNAIRE (3)
- MIGUEL ANGEL GONZALEZ MOLES (3)
- MILAGROS GALISTEO MOYA (3)
- MOHAMED TASSI Mzamzi (3)
- OLGA GARCÍA MARTÍNEZ (3)
- RICARDO MUÑOZ MARTÍNEZ (3)
- Sebastián Montoro Molina (3)
- VIRGÍNEA DE ARAUJO FARIAS (3)
- AHMAD AGIL ABDALLA (2)
- ANA BELÉN MARTIN ÁLVAREZ (2)
- ANTONIA ARÁNEGA JIMÉNEZ (2)
- ANTONIO CAMPOS MUÑOZ (2)
- CONSOLACIÓN MELGUIZO ALONSO (2)
- ELENA NEBOT VALENZUELA (2)
- EVA MARÍA ROSEL GALLARDO (2)
- INDALECIO SÁNCHEZ-MONTESINOS GARCÍA (2)
- JESUS MARIA PORRES FOULQUIE (2)
- JOSE LUIS LINARES FERNÁNDEZ (2)
- JOSÉ CARLOS PRADOS SALAZAR (2)
- LAURA SANJUAN NÚÑEZ (2)

- LEOPOLDO MARTINEZ NIETO (2)
- MARIA ISABEL NUÑEZ TORRES (2)
- MARIA PILAR JUNCO LAFUENTE (2)
- MIGUEL ALAMINOS MINGORANCE (2)
- M^a ESPERANZA ORTEGA SÁNCHEZ (2)
- PALOMA MUÑOZ DE RUEDA (2)
- PILAR ARANDA RAMÍREZ (2)
- RAFAEL MARFIL ALVAREZ (2)
- RICARDO RUIZ VILLAVERDE (2)
- ROSA MARIA ORTEGA DEL OLMO (2)
- ROSA QUILES PEREZ (2)
- Virginia A Aparicio García-Molina (2)
- ANA BELÉN JÓDAR REYES (1)
- ANA ISABEL NIETO RUIZ DE ZARATE (1)
- ANA MARÍA CASTILLO PÉREZ (1)
- ANA SIERRA MARTÍN (1)
- ANGEL PALACIOS PEREZ (1)
- ANTONIO MUÑOZ HOYOS (1)
- ARIANNYS GONZALEZ FLORES (1)
- ARMANDO ZULUAGA GOMEZ (1)
- ASUNCIÓN JODAR MIÑARRO (1)
- Beatriz Irene Fernández Gil (1)
- CARLOS MORENO CASTILLA (1)
- CRISTINA SÁNCHEZ GONZÁLEZ (1)
- DAMIÁN GUIRADO LLORENTE (1)
- DARIO ACUÑA CASTROVIEJO (1)
- DOLORES QUINTERO FUENTES (1)
- ENRIQUE GARCÍA OLIVARES (1)
- ESTER LENO DURÁN (1)
- FEDERICO GARCIA GARCIA (1)
- FRANCISCO DE PAULA VIVES MONTERO (1)
- FRANCISCO FERNÁNDEZ CERVILLA (1)
- FRANCISCO GUDE SAMPEDRO (1)
- FRANCISCO JAVIER CAÑIZARES GARCÍA (1)
- GERMAINE ESCAMES ROSA (1)
- GUSTAVO ORTIZ FERRON (1)
- HOURIA BOULAIZ TASSI (1)
- INGRID JOHANNA GARZÓN BELLO (1)
- JARA MAJUELOS MELGUIZO (1)
- JESÚS CANTERO HINOJOSA (1)
- JESÚS MANUEL TORRES DE PINEDO (1)
- JOSE MANUEL RODRIGUEZ VARGAS (1)
- JOSEFA LEÓN LÓPEZ (1)
- JOSÉ GUTIÉRREZ FERNÁNDEZ (1)
- JOSÉ HERNÁNDEZ QUERO (1)
- JOSÉ MANUEL DE LA HIGUERA TORRES-PUCHOL (1)
- JUAN ANTONIO MARCHAL CORRALES (1)
- JUAN ENRIQUE OLTRA FERRERO (1)

- JUAN LUIS ORTEGA VINUESA (1)
- JUAN PEDRO ARREBOLA MORENO (1)
- JULIO JUAN GÁLVEZ PERALTA (1)
- LAURA MARÍA LÓPEZ JIMÉNEZ (1)
- LUIS F. GARCÍA DEL MORAL GARRIDO (1)
- MANUEL PICÓN RUIZ (1)
- MARIA ANGEL GARCIA CHAVES (1)
- MARIA DEL CARMEN RUIZ RUIZ (1)
- MARIANA FATIMA FERNANDEZ CABRERA (1)
- MARÍA CELIA VÉLEZ FERNÁNDEZ (1)
- MARÍA ISABEL RODRÍGUEZ LARA (1)
- MIGUEL ÁNGEL MARTÍN PIEDRA (1)
- Marta Toral Jiménez (1)
- M^a CONCEPCIÓN NAVARRO MOLL (1)
- M^a PILAR SÁNCHEZ MEDINA (1)
- NATALIA CHUECA PORCUNA (1)
- NICOLAS OLEA SERRANO (1)
- Olga Ocón Hernández (1)
- PASCUAL VICENTE CRESPO FERRER (1)
- RAMON JOSE NARANJO SINTES (1)
- RAQUEL MUÑOZ FERNÁNDEZ (1)
- RAUL ORTIZ QUESADA (1)
- ROSA MARÍA FERRER MARTÍN (1)
- SILVIA SUSANA SEGARRA LAGUNES (1)
- Santiago Serrano Sáenz (1)